



УДК: 615.83:615.89

МАКАЦ Ден.В.

“ВЕГЕТАТИВНА МАТРИЦЯ МАКАЦА” ЯК БІОФІЗИЧНА ПРОБЛЕМА ГОЛКОТЕРАПІЇ

(ІНФОРМАЦІЯ 9)

Старший науковий працівник (Європейський центр післядипломної освіти лікарів
ГО “Українська національна академія природознавства”)

Наводимо розроблену Модель і звертаємо увагу що її графологічна структура біофізично ідентифікує всю системну взаємозалежність. При цьому вона переводить традиційну Голкотерапію в статус доказової медицини і обумовлює її наукове значення в терапевтичній і реабілітаційній практиці...

Ключові слова: Чжень-цзю терапія, акупунктурні канали, функціональна вегетологія.

Here, we introduce the developed Model and draw your attention to the fact that its graphological structure biophysically identifies the entire systemic interdependency. At the same time, it transforms traditional Acupuncture therapy into the status of evidence-based medicine and conditions its scientific value in therapeutic and rehabilitation practice ...

Key words: Zhenjiu therapy, acupuncture channels, functional vegetology.

Наводим разработанную Модель и обращаем внимание что ее графологическая структура биологически идентифицирует всю системную взаимозависимость. При этом она переводит традиционную Иглотерапию в статус доказательной медицины и обуславливает ее научное значение в терапевтической и реабилитационной практике.

Ключевые слова: Чжень-цзю терапия, акупунктурные каналы, функциональная вегетология.

Вступ

ШОК! На очах розсипалася фундаментальна основа Східної терапевтичної філософії - емпірична теорія китайської Голкотерапії. Жодне з її положень не отримало біофізичної підтримки! При цьому шокуюча інформація указує на реальність невідомих сучасним апологетам Законів системної функціонально-вегетативної залежності.

Реальним виходом з теоретичної кризи Голкотерапії стала “ВЕГЕТАТИВНА МАТРИЦЯ МАКАЦА”. Універсальність її графологічної структури вражає і обумовлює нові терапевтичні, реабілітаційні та прогностичні можливості майбутнього.

Наводимо розроблену Модель і звертаємо увагу що її графологічна структура біофізично ідентифікує всю системну взаємозалежність. При цьому вона переводить традиційну Голкотерапію в статус доказової медицини і обумовлює її наукове значення в терапевтичній і реабілітаційній практиці... А зацікавлених в інформації по проблемі функціональної реабілітації вегетативних розладів запрошуємо на курси дистанційного навчання "Школа професора В.Г.Макаца" (Україна - Вінниця; Європейський центр післядипломної освіти лікарів).

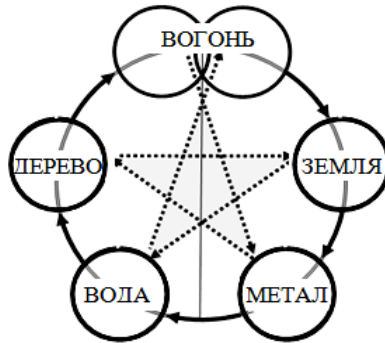
П'ЯТЬ КРОКІВ ДО "ВЕГЕТАТИВНОЇ МАТРИЦІ"

Невідомі раніше системні біофізичні феномени указали на геометричну структуру внутрішнього енергоінформаційного поля людини: функціональну Матрицю Живого (“Вегетативна матриця Макаца”). Закономірність її зв'язків вступила в протиріччя з гіпотетичними канонами класичної голкотерапії і виявила ряд її теоретичних і практичних помилок. При цьому графологічна структура Матриці відображає біофізично реальну системно-комплексну залежність і вперше зближує теоретичні концепції Східної і Західної терапевтичних філософій.

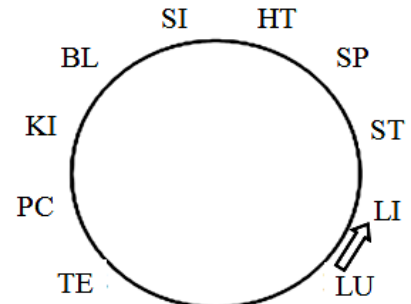
Сьогодні, на основі невідомих раніше біофізичних феноменів, ситуація докорін-

но змінилася. В першу чергу це стосується відкриття вегетативної Матриці. Давайте доказово, окремими кроками розглянемо процес її формування (мал. 1–9).

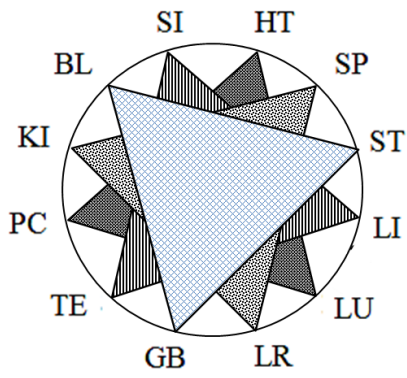
Розпочнемо з того, що перші ознаки Матриці дійшли до нас від китайських Учителів у вигляді концепції П'яти елементів циклу Зірка (мал.1) і Великого Кола циркуляції енергії ЧІ по системі каналів LU-LI-ST-SP-HT-SI-BL-KI-PC-TE-GB-LR-LU (мал.2).



Мал.1



Мал.2

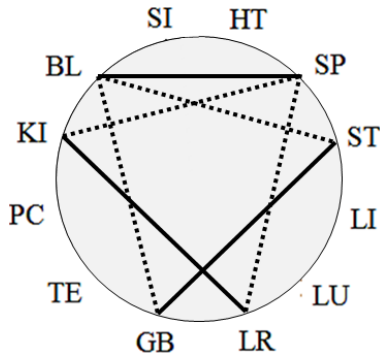


Мал. 3

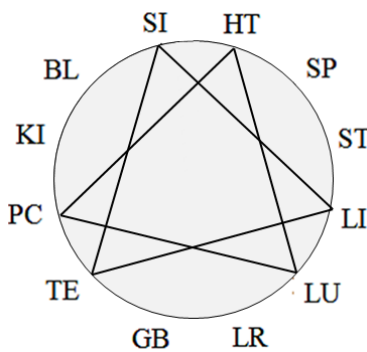
КРОК-1. Усупереч очікуванню, кожен канал невідомих раніше функціональних комплексів (ФК) BL-ST-GB, SP-KI-LR, LI-TE-SI, LU-PC-HT (див. наступний розділ), без порушення гіпотетичної системної послідовності по Великому колу зайняв в ньому топографічно співпадаючі місця (мал.3)! Стало очевидним, що традиційне Велике коло сформовано функціональними комплексами, невідомими східним апологетам (BL-ST-GB, SP-KI-LR, LI-TE-SI, LU-PC-HT).

При цьому стало зрозумілим, що синхронно-асинхронна активність окремих комплексів і їх парадоксальні реакції біофізично суперечать традиційній послідовності "енергетичної циркуляції" по Великому колу та гіпотетичному правилу "Біологічний годинник"!

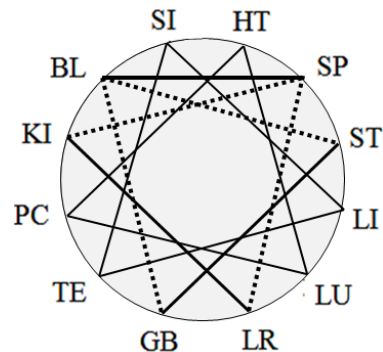
КРОК-2. Вивчення системної залежності в окремих функціональних комплексах виявило її біофізичні особливості. Останні обумовлені синхронною (—) і асинхронною (•••••) системною залежністю при збудженні (пригніченні) окремих акупунктурних каналів і мають наступний вигляд. Перший (BL-ST-GB) і другий (SP-KI-LR) комплекси (ФК-1 і ФК-2) синхронно-асинхронні (мал.4). Третій (LI-TE-SI) і четвертий (LU-PC-HT) комплекси синхронно-парадоксальні і залежать від активності ФК-1 і ФК-2 (мал.5). В сукупності внутрішньо-комплексні зв'язки формують графологічну структуру Матриці (мал.6.)



Мал.4



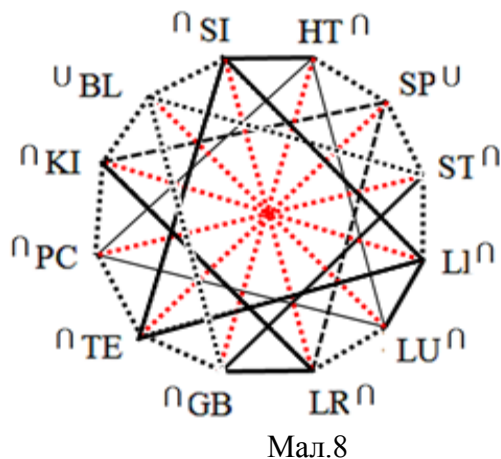
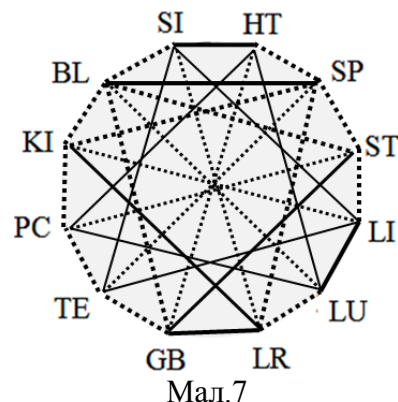
Мал.5



Мал.6

КРОК-3. Вивчення зовнішньої і внутрішньої між комплексної залежності довело графологічну структуру Матриці до логічної досконалості.

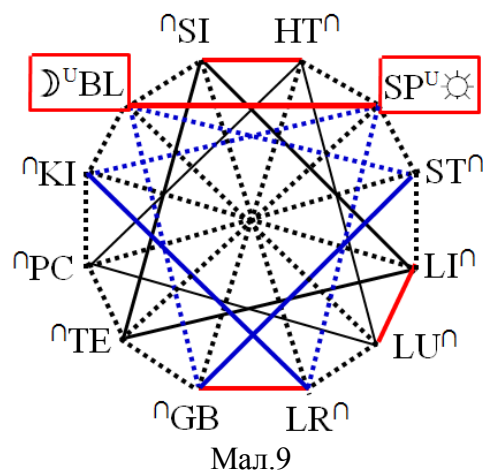
При цьому виявлені специфічні зони біофізичного конфлікту, що забезпечують фрактальність (незавершеність) біофізичних трансформацій: SI-HT, GB-LR, LU-LI (мал.7). Указані елементи залежності істотно доповнюють гідну уваги геометричну структуру вегетативної Матриці Живого



КРОК-4 Зовнішня і внутрішня синхронно-асинхронна залежність між системами окремих комплексів обумовлює біофізичні конфлікти - феномени Парадоксальних реакцій ($n U$). Останні доводять топографічну структуру вегетативної Матриці до геометричної досконалості (мал.8).

КРОК-5. Був виявлений біофізичний пейсмейкер (*водій ритму*) вегетативної Матриці. Ним виявилися системи першого і другого функціонального комплексів **BL-SP**, специфічна активність яких (у вигляді двох годинного функціонального біоритму) безпосередньо залежить від фази Місячної активності і УФ – радіації (мал.9).

Остання особливість довела структуру Матриці до функціональної досконалості...



При цьому звертаємо увагу на наступні важливі положення.

1) Графологічна структура функціонально-вегетативної Матриці Макаца (мал. 9) являється патогенетичною основою східної Голкотерапії і західної "Функціональної вегетології".

2) Структурно-функціональна активність вегетативної Матриці постійно спрямована на підтримку динамічної сталості функціонально-вегетативного гомеостазу.

3) Теоретичні і практичні помилки китайської Голкотерапії обумовлені відсутністю знань про її вегетативну спрямованість і біофізичну реальність функціонально-вегетативної Матриці.

4) Рецепт терапії акупунктури повинна бути обумовлена структурою Матричних вегетативних ключів (комплексів).

5) Правомірність використання Вегетативної Матриці для функціонального прогнозу та корекції вегетативних порушень біофізично обумовлена і реабілітаційно оправдана;

По великому рахунку Матрично-ве-гетативні комплекси враховують практично всі біофізично реальні форми системної взаємозалежності, яка раніше була відома у вигляді традиційних гіпотетичних правил. При нагоді нагадаємо, що жодне гіпотетичне правило китайської Голкотерапії не отримало біофізичної підтримки, що указує на недосконалість її теоретичної бази.

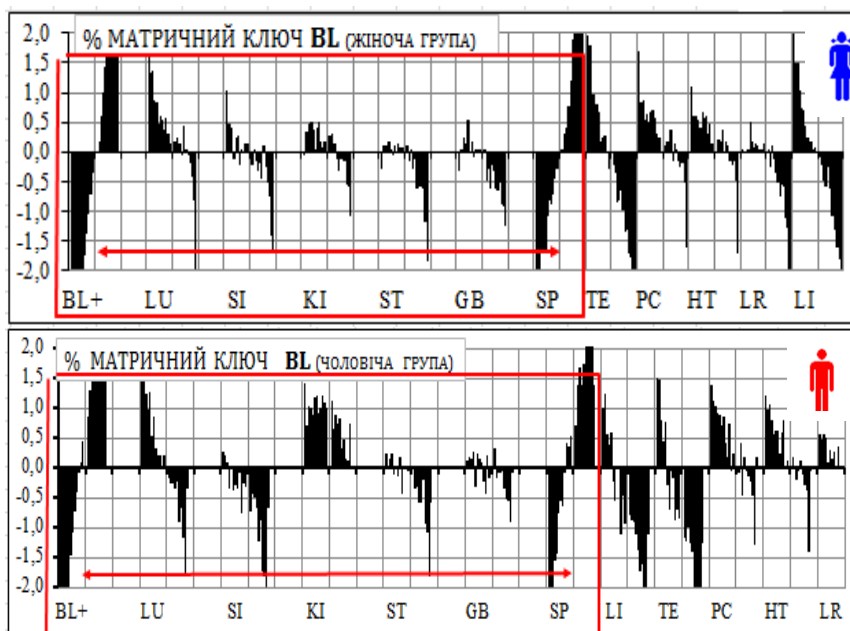
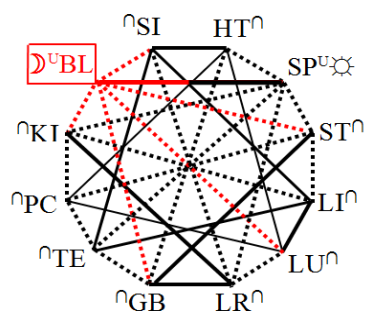
Маючи на увазі принципове теоретичне і практичне значення вегетативної Матриці, розглянемо структуру кожного Матричного (вегетативного) ключа і його відповідність до системної взаємо-залежності.

МАТРИЧНІ КОМПЛЕКСИ (ВЕГЕТАТИВНІ КЛЮЧІ).

Сьогодні нами виділені 12 функціональних груп, обумовлених синхронно-асинхронною і парадоксальною залежністю базових елементів Матриці і її функціональних комплексів: **BL**= LU-ST-GB SI-KI-SP, **SP**=TE-KI-LR-ST-HT-BL, **LI**=KI-SI-TE-ST-LU, **TE**=SP-SI-LI-PC-GB, **SI**= LR-TE-LI-BL-HT, **LU**= BL-HT-PC-LI-LR, **PC**= ST-HT-LU-KI-TE, **HT**= GB-PC-LU-SI-SP, **ST**= PC-BL-GB- SP-LI, **GB**= HT-BL-ST-TE-LR, **KI**= LI-SP-LR-BL-PC, **LR**= SI-KI-SP-LU-GB (мал.10-21).

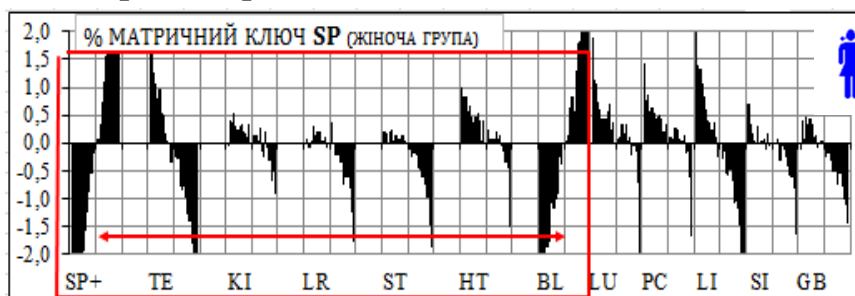
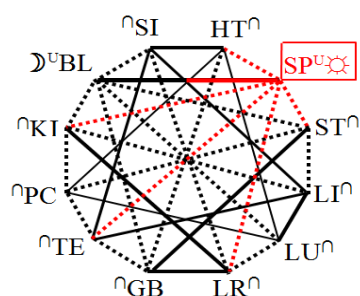
Тепер розглянемо системну взаємозалежність Матричних вегетативних ключів (комплексів) і її біофізичну реальність. При цьому будемо знати, що зміна спрямованості динамічної активності Ключа обумовить протилежну системно-матричну залежність.

Згідно вегетативній Матриці (**BL**=LU-ST-GB-SI-KI-SP) збудження матричного ключа **+BL** обумовлює наступну системну залежність: **+BL**= **+SP** -LU -SI -KI \cap -ST \cap -GB. Подібна біофізична залежність спостерігається по всім групам спостереження (мал.10). **Матричний прогноз біофізично реальний.**

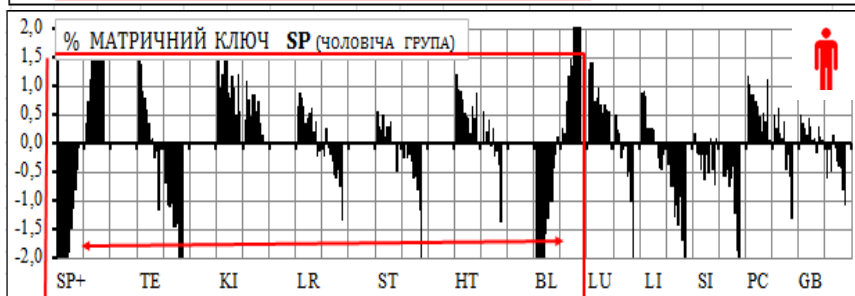


Мал. 10 Біофізична реальність Матричного прогноза при **+ BL**

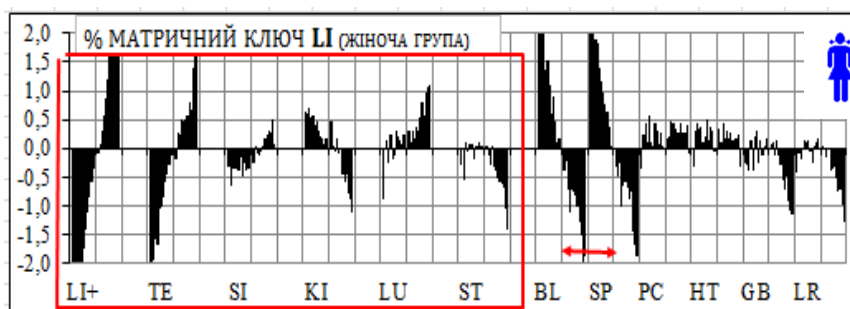
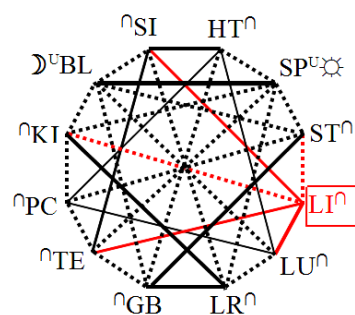
Згідно вегетативній Матриці (**SP=TE-KI-LR-ST-HT-BL**) збудження матричного ключа **+SP** обумовлює наступну системну залежність: **+SP= +BL -TE -KI -LR -ST -HT**. Подібна біофізична залежність спостерігається по всім групам спостереження (мал.11). **Матричний прогноз біофізично реальний.**



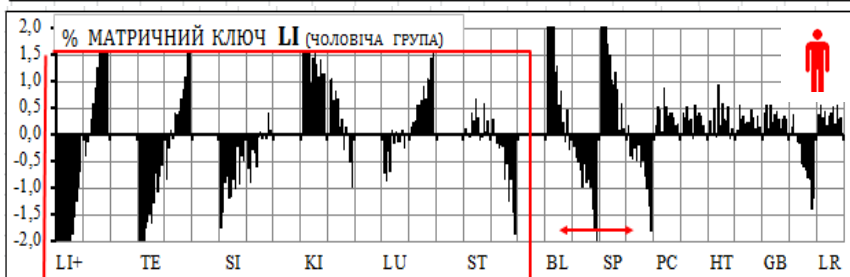
Мал.16.11 Біофізична реальність Матричного прогноза при **+ SP**



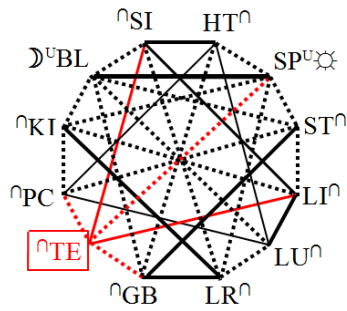
Згідно вегетативній Матриці (**LI=KI-SI-TE-ST-LU**) збудження матричного ключа **+LI** обумовлює наступну системну залежність: **+LI= +TE +SI -KI +LU ∩ -ST**. Подібна біофізична залежність спостерігається по всім групам спостереження (мал.12). **Матричний прогноз біофізично реальний.**



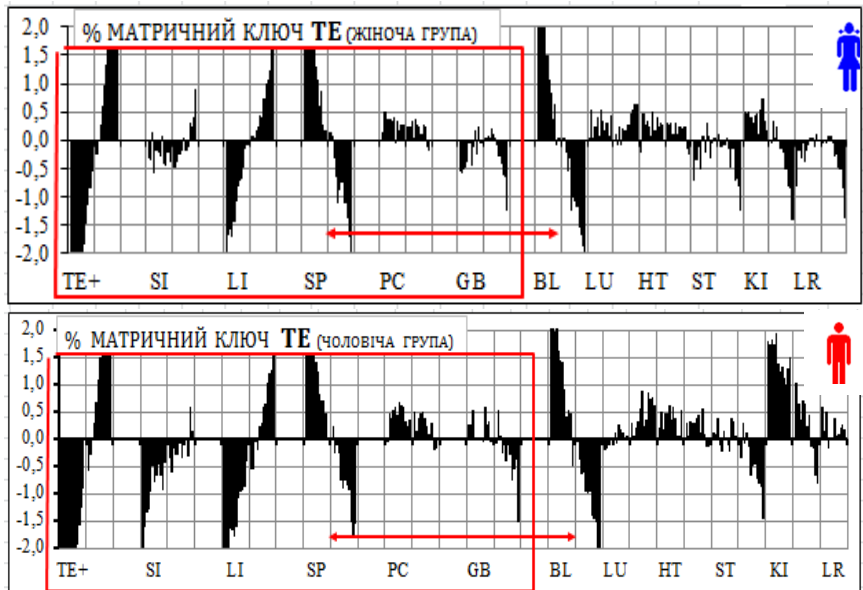
Мал.12 Біофізична реальність Матричного прогноза при **+ LI**



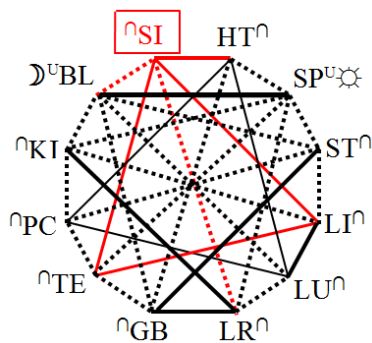
Згідно вегетативній Матриці (**TE=SP-SI-LI-PC-GB**) збудження матричного ключа **+TE** обумовлює наступну системну залежність: **+TE= U+SI +LI -SP -PC ∩ -GB**. Подібна біофізична залежність спостерігається по всім групам спостереження (мал.13). **Матричний прогноз біофізично реальний.**



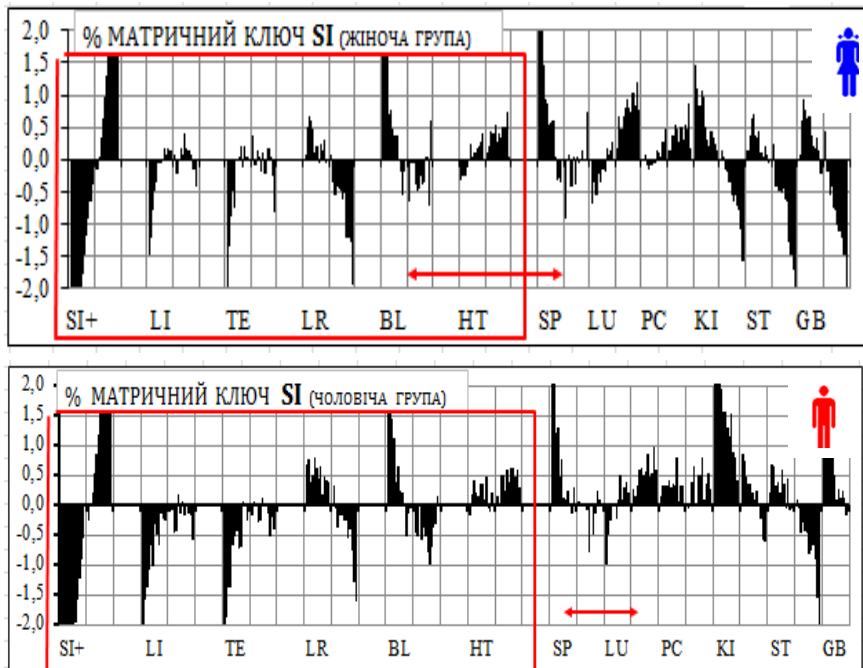
Мал.13 Біофізична реальність Матричного прогноза при +TE



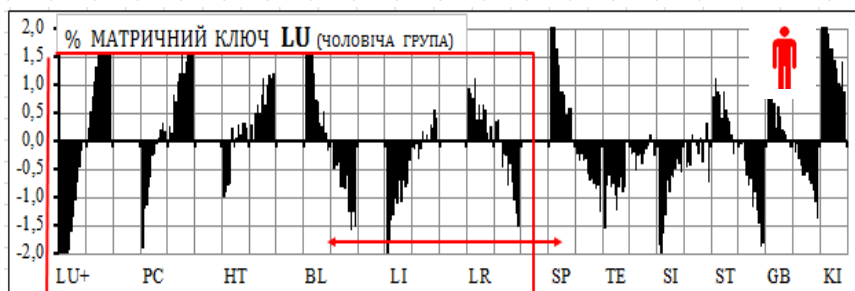
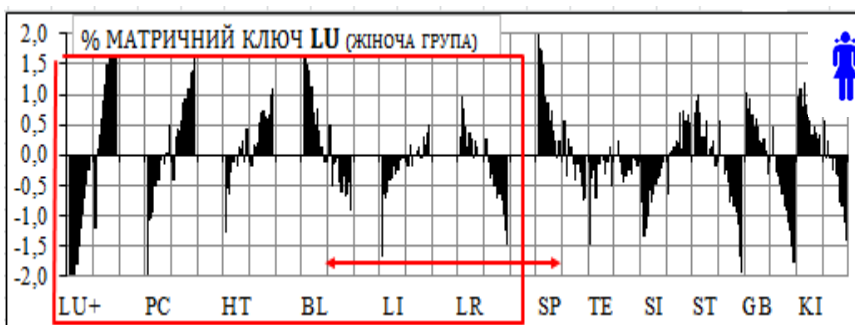
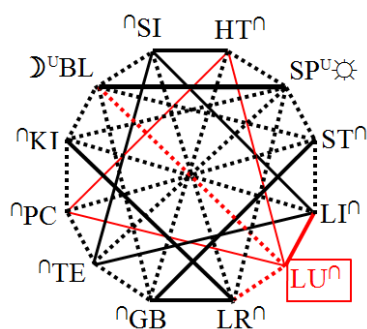
Згідно вегетативній Матриці ($SI=LR-TE-LI-BL-HT$) збудження матричного ключа +SI обумовлює наступну системну залежність: $+SI= \cap+LI \cap+TE -LR \cup-BL +HT$. Подібна біофізична залежність спостерігається по всім групам спостереження (мал.14). **Матричний прогноз біофізично реальний.**



Мал.14 Біофізична реальність Матричного прогноза при +SI

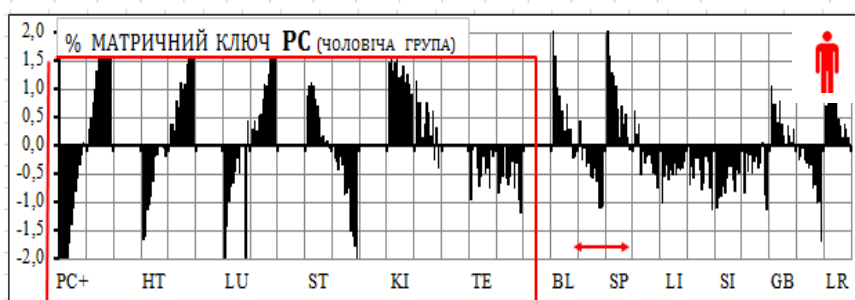
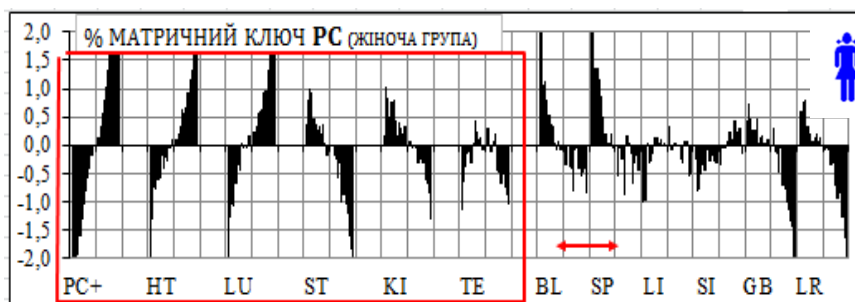
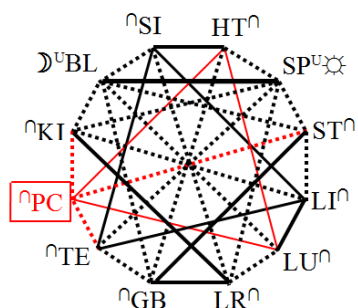


Згідно вегетативній Матриці ($LU= BL-HT-PC-LI-LR$) збудження матричного ключа +LU обумовлює наступну системну залежність: $+LU= +PC +HT -BL +LI -LR$. Подібна біофізична залежність спостерігається по всім групам спостереження (мал.15). **Матричний прогноз біофізично реальний.**



Мал.15 Біофізична реальність Матричного прогноза при +LU

Згідно вегетативній Матриці ($PC = ST - HT - LU - KI - TE$) збудження матричного ключа +PC обумовлює наступну системну залежність: $+PC = +HT + LU - ST - KI - TE$. Подібна біофізична залежність спостерігається по всім групам спостереження (мал.16). **Матричний прогноз біофізично реальний.**

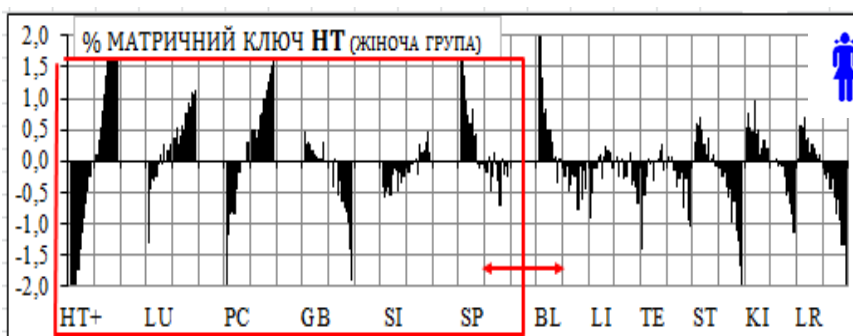
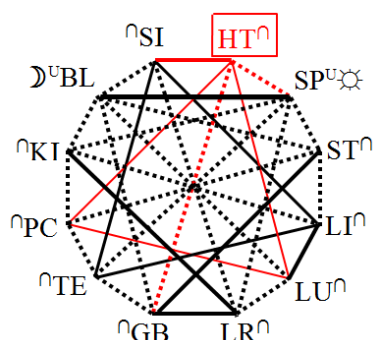


Мал.16 Біофізична реальність Матричного прогноза при +PC

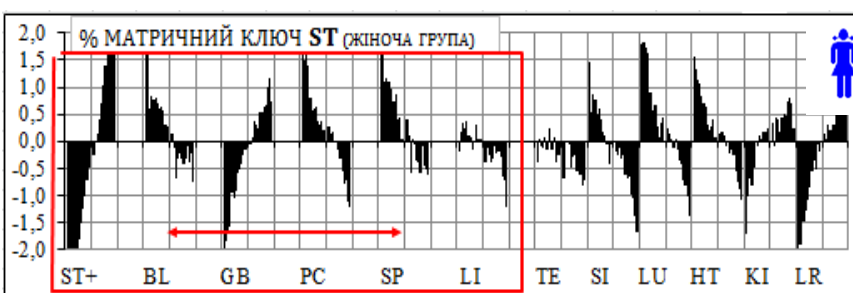
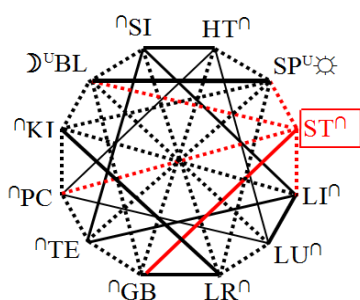
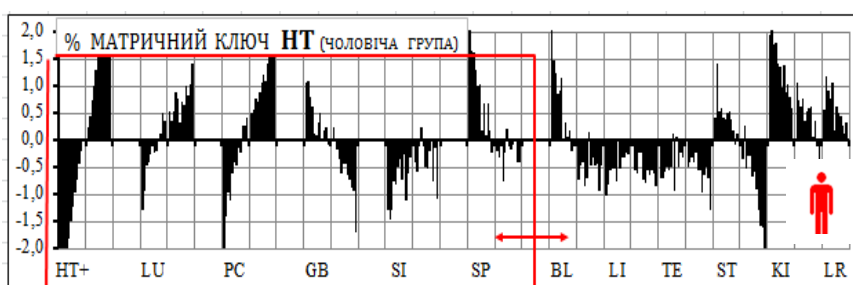
Згідно вегетативній Матриці ($HT = GB - PC - LU - SI - SP$) збудження матричного ключа +HT обумовлює наступну системну залежність: $+HT = +LU + PC - GB + SI - SP$. Подібна біофізична залежність спостерігається по всім групам спостереження (мал.17). **Матричний прогноз біофізично реальний.**

Згідно вегетативній Матриці ($ST = PC - BL - GB - SP - LI$) збудження матричного ключа +ST обумовлює наступну системну залежність: $+ST = -BL + GB - PC - SP - LI$.

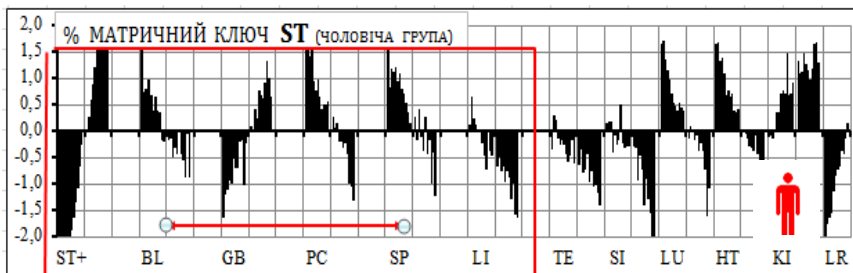
Подібна біофізична залежність спостерігається по всім групам спостереження (мал.18). **Матричний прогноз біофізично реальний.**



Мал.17 Біофізична реальність Матричного прогноза при **+HT**

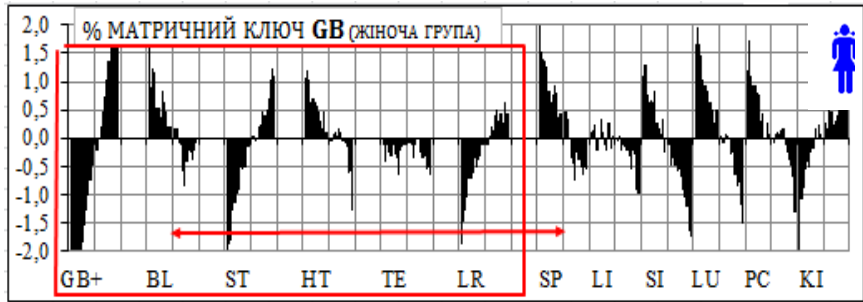
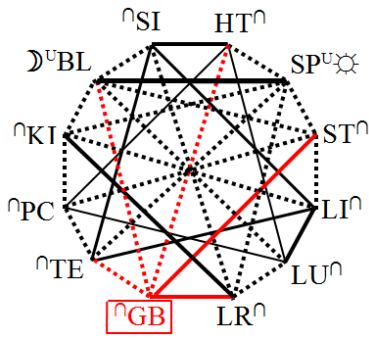


Мал.18 Біофізична реальність Матричного прогноза при **+ST**

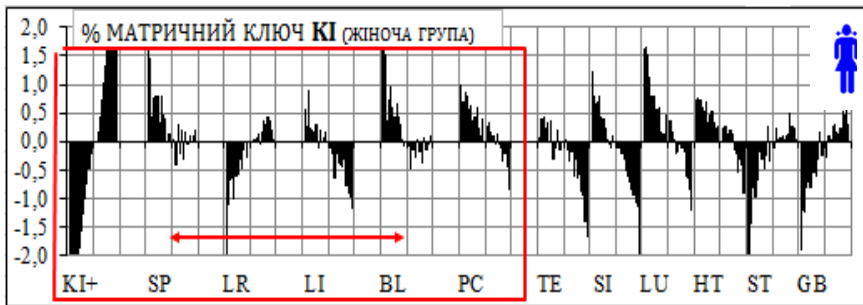
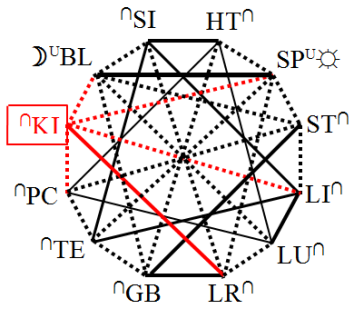
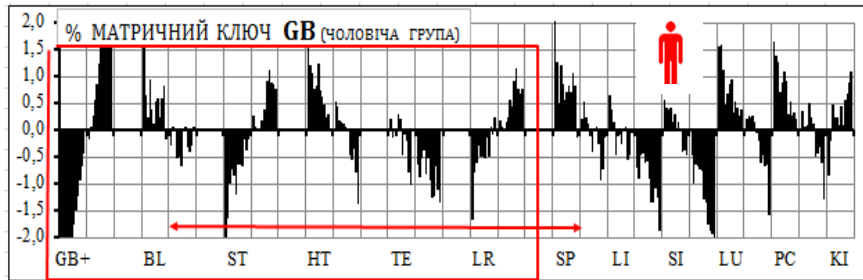


Згідно вегетативній Матриці (**GB= HT-BL-ST-TE-LR**) збудження матричного ключа **+GB** обумовлює наступну системну залежність: **+GB= -BL +ST -HT ∩ +TE +LR**. Подібна біофізична залежність спостерігається по всім групам спостереження (мал.19). **Матричний прогноз біофізично реальний.**

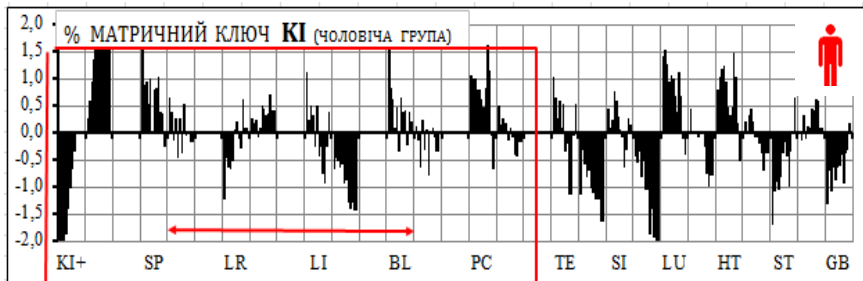
Згідно вегетативній Матриці (**KI=LI-SP-LR-BL-PC**) збудження матричного ключа **+KI** обумовлює наступну системну залежність: **+KI= U-SP +LR -LI U-BL -PC**. Подібна біофізична залежність спостерігається по всім групам спостереження (мал.20). **Матричний прогноз біофізично реальний.**



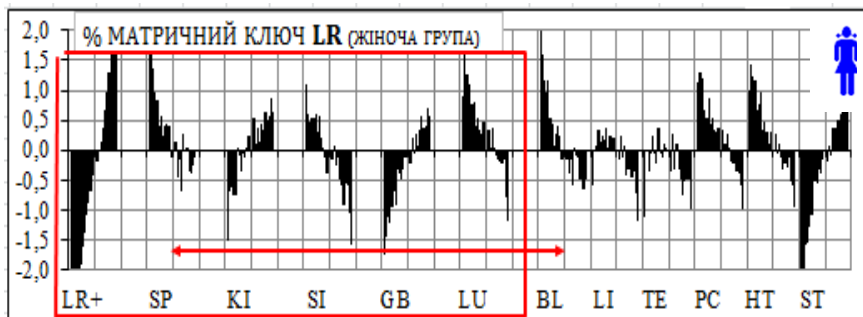
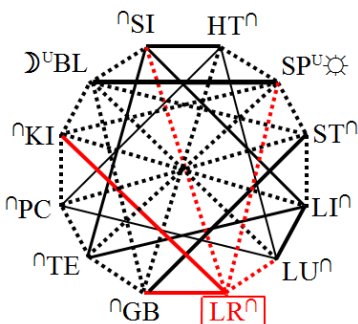
Мал.19 Біофізична реальність Матричного прогноза при **+GB**



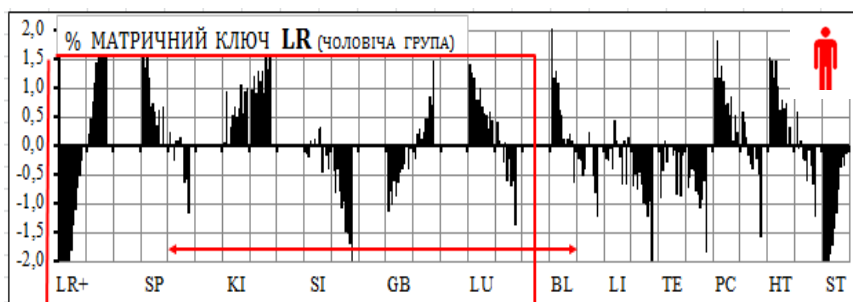
Мал.20 Біофізична реальність Матричного прогноза при **+KI**



Згідно вегетативній Матриці (**LR=SI-KI-SP-LU-GB**) збудження матричного ключа **+LR** обумовлює наступну системну залежність: **+LR = -SP +KI -LI -SI +GB -LU**. Подібна біофізична залежність спостерігається по всім групам спостереження (мал.21). **Матричний прогноз біофізично реальний.**



Мал.21 Біофізична реальність Матричного прогноза при **+КІ**



Висновки.

1. Наведені матеріали свідчать про біофізичну реальність Матричного прогнозу.
2. Вегетативна матриця Макаца біофізично об'єднує Східну теоретичну базу Голкотерапії і переводить її в реально існуючу Західну "Функціональну вегетологію".

Список використаної літератури

1. Макац В.Г., Макац Д.В., Макац Е.Ф., Макац Дм.В. Лекція-3 Традиційні гіпотетичні основи китайської Чжень-цзю терапії // Медиздат, РФ, Рефлексотерапевт- № 6/2011-С.4-14.
2. Макац В.Г., Макац Д.В., Макац Е.Ф., Макац Дм.В. Лекція-5 Біофізична реальність прогнозу вегетативних расстройств. Ошибки традиционной китайской иглотерапии // Медиздат, РФ, Рефлексотерапевт № 11/2011-С.3-18.
3. Макац В.Г., Макац Д.В., Макац Е.Ф., Макац Дм.В. Лекція-6 Сучасні проблеми діагностики вегетативного гомеостазу. Принципіальна оригінальність нового функціонального напрямку (частина 1) // Медиздат, РФ, Рефлексотерапевт №12/2011-С.3-21.
4. Makats V., Makats D., Makats D., Makats E. Unknown Chinese acupuncture (reality, errors, problems). Vol. I – Vinnytsia: "Naukova Initsiatyva", Editorial office "Nilan Ltd.", 2016. – 276 ISBN 978-966-2932-80-5
5. Makats V., Makats D., Makats D., Makats E. Unknown Chinese acupuncture (biophysical atlas of systemic dependency). Vol.II – Vinnytsia: "Naukova Initsiatyva", Editorial office "Nilan Ltd.", 2016. – 214p. ISBN 978-966-2932-80-5